

徳島大学工業短期大学部 正会員 幸尾 潔
 徳島大学工学部 正会員 鳥嶋 弘行
 徳島大学工学部 正会員 成行義文

1. まえがき 平面骨組の非線形挙動をより正確に算定するためには、塑性域の拡がり（非弾性断面における非線形な $M - \text{中実係}$ ）を考慮した解析が必要となるが、この塑性域の拡がりを厳密に考慮して骨組全体の解析を行なうことはかなり困難となる。それゆえ、既往の解析では、部材の非弾性部分を適当な部材要素に分割して分割長におけり曲率を数値積分等で求め、分割要素内の $M - \text{中実係}$ は直線的に変化するものとみなして解析する方法がよく用いられている。しかし、このような解析法は、汎用性に優れている反面、部材の分割長にも節度を設けて解析する関係で計算機の演算時間、記憶容量等は必然的に不利となり、部材の分割数によつて精度も異なるといつて欠点がある。そこで本研究では、部材の分割に伴なうこのような欠点に改良を加えることを目的として、つぎの3.で述べるような、等価曲率を用いて部材を分割しない一弾塑性解析法について研究し、2、3の解析結果とともに、その精度ならびに演算時間について若干の比較検討を試みた。

2. 解析上の仮定 本解析では、1) 曲げと軸力、および、曲げとせん断力との降伏相関関係は無視する。2) 部材の $\phi - \epsilon$ 関係は完全弾塑性型とし、ひずみ硬化ならびに残留応力の影響は無視する。3) 部材カーボン変形実験（図-2 参照）における幾何的非線形性は無視する。4) 部材の非弾性部分におけり曲率 ϕ_3 は曲げモーメント M_3 の一次式で表わされるものとする。5) 微小荷重増分による $M - \text{中実係}$ は一定とする。などの仮定を設けている。

3. 等価曲率 仮定4)より、図-1に示すように部材よりの非弾性部分を ϕ_3 とし、 k_3 すなはち断面の曲げモーメント M_y 、 M_i および、曲率 ϕ_3 、 ϕ'_3 を用いて、式(1)のように表わす。

$$\phi'_3 = \frac{1}{EI} (\alpha + \beta M_3) \quad \dots \dots (1), \quad \begin{cases} \alpha = (\phi'_3 M_3 - \phi'_3 M_y) / \Delta \phi \\ \beta = (\phi'_3 - \phi_y) / \Delta \phi \end{cases}$$

$\Delta \phi = (M_i - M_3) / EI$ であり、係数 α 、 β に含まれる ϕ'_3 は、理論 $M - \text{中実係}$ より求めた部材全体の補正エネルギーを U_c 、式(1)の近似実験より求めたそれを U'_c として、a) $U_c = U'_c$ 、b) $\partial U_c / \partial Q = \partial U'_c / \partial Q$ c) $\partial U_c / \partial M = \partial U'_c / \partial M$ などの条件より決定する。すなはち、近似 $M - \text{中実係}$ 、式(1)を定めために必要な端の曲率 ϕ'_3 を理論実験式より求めた補正エネルギー U_c 、材端のたわみ $\delta = \partial U_c / \partial Q$ 、材端たわみ角 $\theta = \partial U_c / \partial M$ と近似式より求めたそれらとが等価となるようにしてようとするものであり、その意味で、本文ではこのようにして求めた曲率 ϕ'_3 を等価曲率とよぶことにした。

4. 変形法の基本式(部材方式) 図-2に示すように、i、j両端側に非弾性域 l_{p1} 、 l_{p2} をもつ部材の部材力を $S^* = \{N, M_i, M_j\}^T$ 、部材変形を $U^* = \{u, t_i, t_j\}^T$ とすれば、これらの関係はつぎのようにして得られる。すなはし、仮定1)、3)より、 $N = EA \cdot u / l_0 \dots \dots (2)$

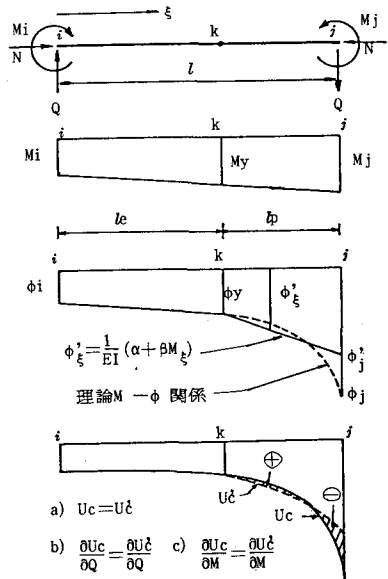


図-1

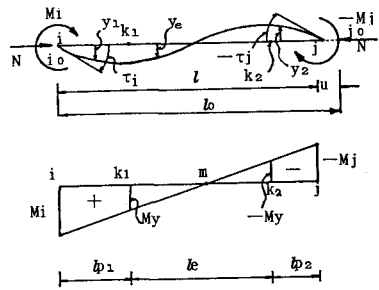


図-2

と表わされ、 M_1 と η_1 の関係は、 $\eta_1 = R_1 \cdot k_1$ 、 $R_1 = \frac{M_1}{E I}$ 部分に対するため曲線をそれとすれば、曲げた構造の微分方程式は、式(1)より、 $\eta_1'' = (\alpha_1 + B_1 M_3) / E I$ --- (3)、 $\eta_2'' = M_3 / E I$ --- (4)、 $\eta_2'' = (\alpha_2 + B_2 M_3) / E I$ --- (5) と表わされるが、 $M_3 = M_2 + (M_3 - M_2) \beta / l$ を式(3)～(5)代入して η_1 、 η_2 を求め、 $\eta_1 = R_1 \cdot k_1$ 、 $R_1 = \frac{M_1}{E I}$ と表すと $\eta_1' = \eta_1$ 、 $\eta_2 = 0$ となる。また $\eta_1' = \eta_1$ 、 $\eta_2 = 0$ を考慮してつぎのように得られる。

表-1

$$\begin{aligned} M_1 &= \frac{EI}{xl} (C_1 T_1 - C_2 T_2) - \left(\frac{C_5}{X} \alpha_1 + \frac{C_6}{X} \alpha_2 \right) \\ M_3 &= \frac{EI}{xl} (-C_3 T_1 + C_4 T_2) - \left(\frac{C_7}{X} \alpha_1 + \frac{C_8}{X} \alpha_2 \right) \end{aligned} \quad \cdots (6)$$

ただし、係数 X 、 α_i 、 C_i 等は表-1 のようである。なお、左端側、および、右端側のみに非弾性域が発生している部材では、表-1 の諸係数をそれぞれ、 $\alpha_{P2} = \alpha_2 = 0$ 、 $\beta_2 = x^2 = 1$ 、および、 $\alpha_{P1} = \alpha_1 = x = 0$ 、 $\beta_1 = 1$ とすればよい。つきに式(5)、(6)をまとめれば、 $S^* = f^* - U^* + C^*$ ---(7) と行列表示され、以下、部材空欄系に対する変換行列 B 、座標変換行列 R を用いて、基準座標系に対する基本式が周知の方法で得られる。

5. 計算例 解析結果の詳しきことは講演会

当日発表する二とじ、二とじは、矩形断面から

なる片持梁が自由端に鉛直荷重をうけた場合の簡単な結果を図-3～5 に示す。図-3 は荷重増分 $\Delta P = 0.1 t$ とした場合の P - δ 曲線を、中点を $U_c = U_d$ の条件より求めた解析結果と部材を Δ 通り（図-3 参照）に分割した既往の解析結果を比較して示したものであり、図中の表には演算時間の比較も示している。また、図-4 は本解析法で $U_c = U_d$ の条件より中点を求めた場合の荷重増分 ΔP の相違による P - δ 曲線と演算時間の比較を示している。図-5 は、本文 3. で述べた A)～C) の 3 通りの方法で等価曲率半径を求めた場合の本解析法における P - δ 曲線を比較して示している。

6. 結論 本研究で得られた主要結果を列挙しておけば、1) 荷重増分の大きさ、部材の分割数によるとか、本解析法の方が演算時間、精度の両面から考えて、部材を分割する既往の解析法よりも有効と思われる。2) 荷重増分の大きさによるとか、本解析法では理論値よりも変位が小さくなる傾向がある。3) 本解析法を 2.3 に実用的なものとするためにには塑性域の広がりの影響を塑性関節に適用するなどの工夫が必要と思われる、などである。

7. 参考文献 1) 平尾潔：鋼構造平面滑組の非線形運動と終局耐荷力に関する研究、京都大学学位論文、第1313号、1980年7月。2) 山崎・太田・石川：補正エネルギー法による直線構造物の弾塑性解析、工木学会論文集、第134号、1966年、10月。

C ₁	$2x^{10} - 4\beta_1 x^9 + 6x^{11} - 2\beta_1 (2+x^{12})$
C ₂	$2x^{10} - 2\beta_1 (2x^2 - 3x^3) + 2\beta_1 (x^{12} - 1) + \beta_1 (x^{12} - x^{13})$
C ₃	$6x^{10} - 2x^{11} + 2\beta_1 (2x^2 - 3x^3) + 2\beta_1 (x^{12} - 3x^{13} - 1) + 2\beta_1 (x^{14} - 3x^{15})$
C ₄	$-6x^{10} + 2x^{11} + 2\beta_1 (6x^2 - 6x^3 - 2x^4) + 2\beta_1 (3x^{12} - x^{13} - 2) + 2\beta_1 (6x^4 + 3x^{13} - 9x^{14})$
C ₅	$\beta_1 (4x^2 - 3x^3 - 4x^4 - 4x^5 + 3x^6) + \beta_1 (2x^{12} - 2x^{13} - 4x^{14} - 1) + \beta_1 (-3x^{15} + 6x^{16} - 3x^{17}) - 2x^{18} + 2x^{19}$
C ₆	$2x^{10} - \beta_1 x^9 + \beta_1 (-2x^{12} - 4x^{13} - 3x^{14}) + \beta_1 (6x^{15} - 3x^{16})$
C ₇	$-2x^{10} + 6x^9 - 6x^8 + \beta_1 (6x^{12} - 3x^{13} + 9x^4 - 6x^5 + 6x^6 - 6x^7)$ + $\beta_1 (2x^{14} - 6x^5 + 9x^6 - 2x^7 - 1) + \beta_1 (2x^{12} - 15x^8 + 6x^9 - 3x^{10})$
C ₈	$-6x^{10} + 2x^{11} + \beta_1 (6x^{12} - 2x^{13} - 3x^4 + 2x^5) + \beta_1 (6x^{14} + 6x^{15} - 3x^{16} - 12x^{17})$
x	$\beta_1 (2x^{12} - 3x^{13} + 6x^4) + \beta_1 (4x^2 - 9x^3 + 6x^4) - \beta_1 (x^4 - 3x^5 + 6x^{12} - 3x^{13})$ + $\beta_1 \beta_2 (x^{12} - x^{13} - 9x^4 + 6x^5) + \beta_1 \beta_2 (6x^4 - 4x^5 - 2x^{14} - 4x^{15} + 6x^{16}) + \beta_1 \beta_2 (3x^{12} - 2x^{13} - 1)$
α_1	$(\phi_1 M_1 - \phi_2 M_2) / \Delta \phi_1$ 、 $\alpha_2 = (\phi_2 M_2 - \phi_1 M_1) / \Delta \phi_2$ 、 $\beta_1 = (\phi_1 - \phi_2) / \Delta \phi_1$ 、 $\beta_2 = (\phi_2 - \phi_1) / \Delta \phi_2$
$\Delta \phi_1$	$(\phi_1 M_1 - \phi_2 M_2) / EI$ 、 $\Delta \phi_2 = (M_2 - M_1) / EI$ 、 $\beta_1 = \beta_2 = 1$ 、 $\beta_1 = \beta_2 = 1/l$ 、 $x = (p_1 + p_2) / l$ 、 $x = p_1 / l$

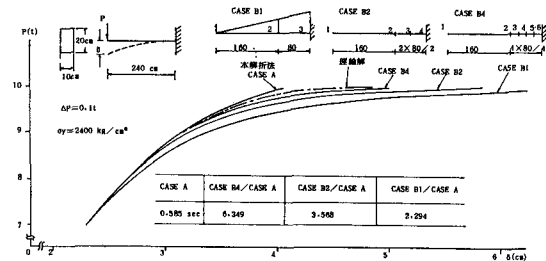


図-3

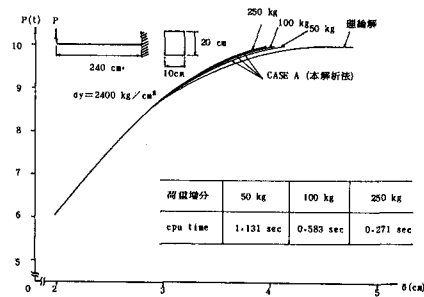


図-4

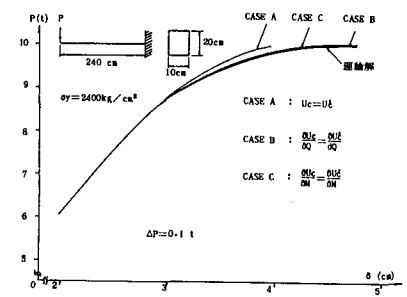


図-5